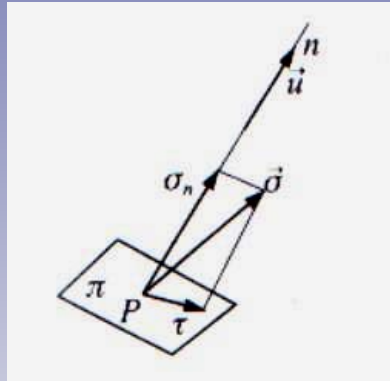


TEMA 3.4

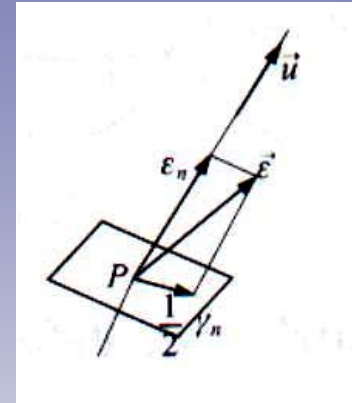
Tracción y Flexión

3.4.1. Introducción

ESTADO TENSIONAL:



ESTADO DE DEFORMACIÓN:



$$\begin{pmatrix} t_x \\ t_y \\ t_z \end{pmatrix} = \begin{pmatrix} \sigma_x & \tau_{xy} & \tau_{zx} \\ \tau_{xy} & \sigma_y & \tau_{yz} \\ \tau_{zx} & \tau_{yz} & \sigma_z \end{pmatrix} \begin{pmatrix} \alpha \\ \beta \\ \gamma \end{pmatrix}$$

$$\vec{t} = T \cdot \vec{u}$$

$$\begin{pmatrix} \epsilon_1 \\ \epsilon_2 \\ \epsilon_3 \end{pmatrix} = \begin{pmatrix} \epsilon_x & \frac{1}{2}\gamma_{xy} & \frac{1}{2}\gamma_{xz} \\ \frac{1}{2}\gamma_{xy} & \epsilon_y & \frac{1}{2}\gamma_{yz} \\ \frac{1}{2}\gamma_{xz} & \frac{1}{2}\gamma_{yz} & \epsilon_z \end{pmatrix} \begin{pmatrix} \alpha \\ \beta \\ \gamma \end{pmatrix}$$

$$\vec{\epsilon} = [D] \cdot \vec{u}$$

ECUACIONES DE HOOKE:

$$\varepsilon_x = \frac{\sigma_x}{E} - \frac{\nu}{E}(\sigma_y + \sigma_z)$$

$$\varepsilon_y = \frac{\sigma_y}{E} - \frac{\nu}{E}(\sigma_z + \sigma_x)$$

$$\varepsilon_z = \frac{\sigma_z}{E} - \frac{\nu}{E}(\sigma_x + \sigma_y)$$

$$\gamma_{xy} = \frac{\tau_{xy}}{G}$$

$$\gamma_{zx} = \frac{\tau_{zx}}{G}$$

$$\gamma_{yz} = \frac{\tau_{yz}}{G}$$

ECUACIONES DE LAMÉ:

$$\sigma_x = \lambda\varepsilon_3 + 2\mu\varepsilon_x$$

$$\sigma_y = \lambda\varepsilon_3 + 2\mu\varepsilon_y$$

$$\sigma_z = \lambda\varepsilon_3 + 2\mu\varepsilon_z$$

$$\tau_{xy} = G\gamma_{xy}$$

$$\tau_{xz} = G\gamma_{xz}$$

$$\tau_{yz} = G\gamma_{yz}$$

CASO GENERAL:

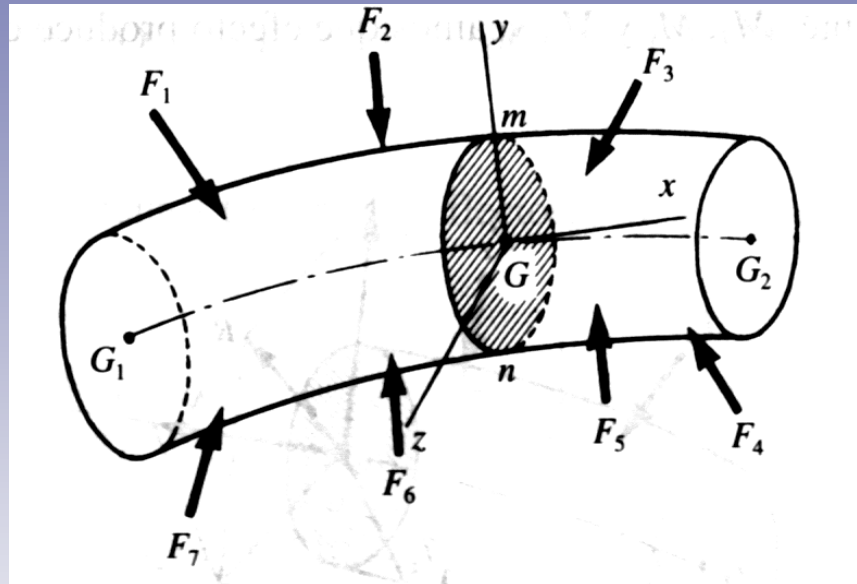
- se conocen las fuerzas exteriores

SOLUCIÓN:

- **TEORÍA DE LA ELASTICIDAD:** solución exacta en casos particulares
- **RESISTENCIA DE MATERIALES:** resolución utilizando métodos aproximados e hipótesis simplificadoras

TRACCIÓN Y FLEXIÓN

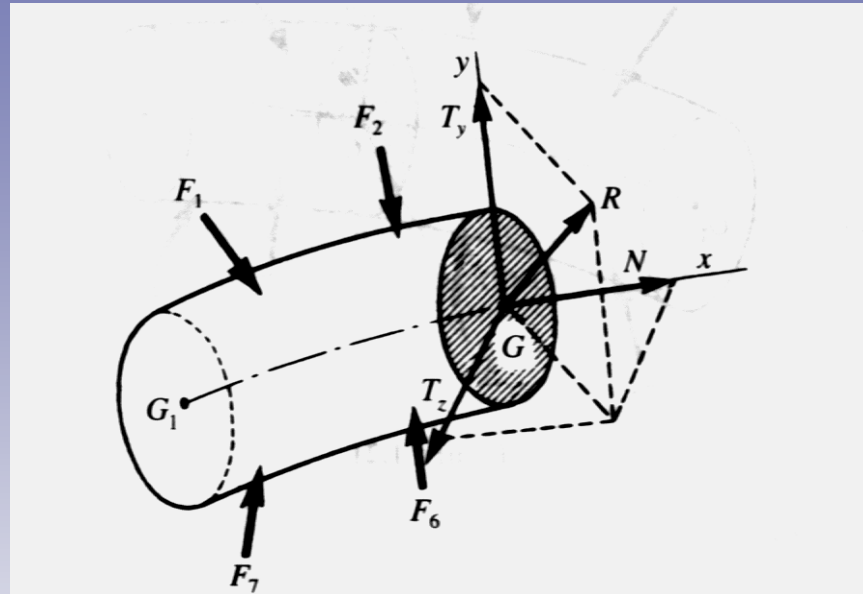
PRISMA MECÁNICO EN EQUILIBRIO ESTÁTICO:



SECCIÓN mn : plana, contenida en plano normal a línea media del prisma

EQUILIBRIO: acción parte eliminada: \vec{R}, \vec{M}

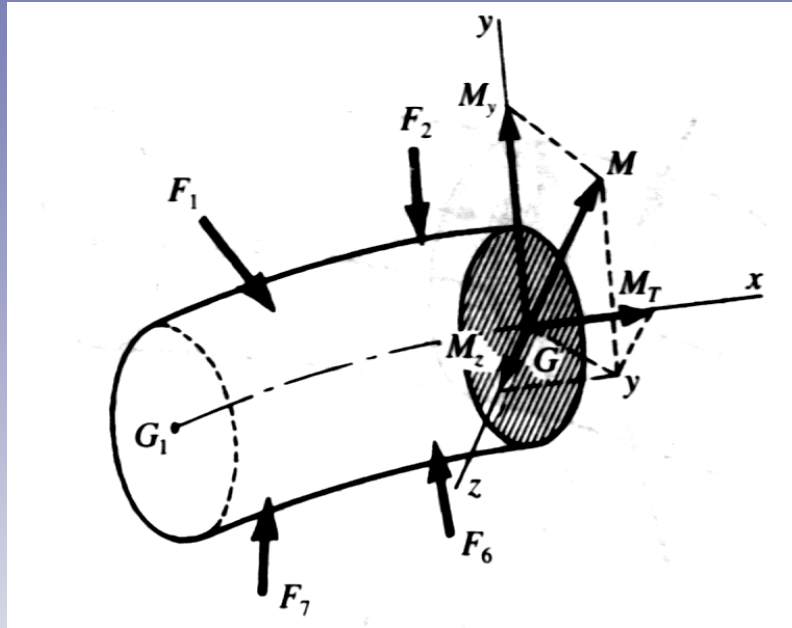
COMPONENTES DE LA FUERZA RESULTANTE \vec{R} :



Aplicada en el centro de gravedad G de la sección:

$$\vec{R} = \vec{N} + \vec{T} = N\vec{i} + T_y\vec{j} + T_z\vec{k} \left. \begin{array}{l} \vec{N} : \text{separa ambas partes del prisma} \\ \vec{T} : \text{desliza la sección respecto de una próxima} \end{array} \right\}$$

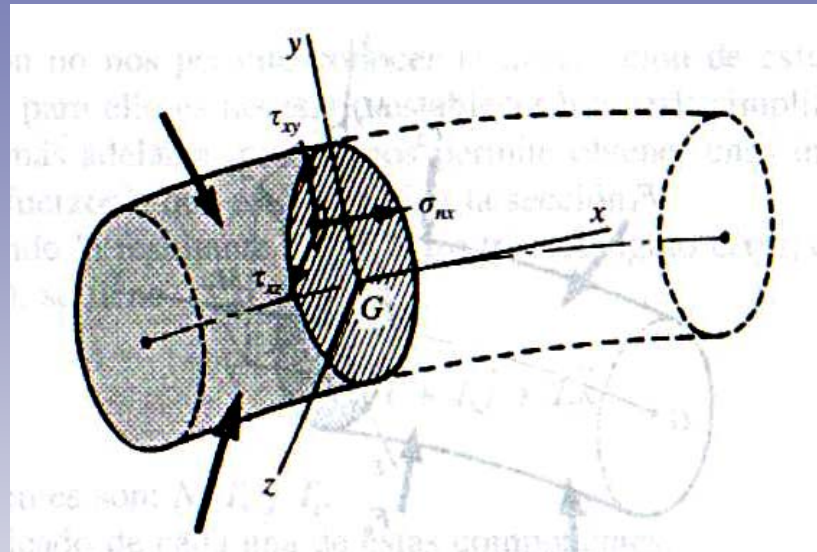
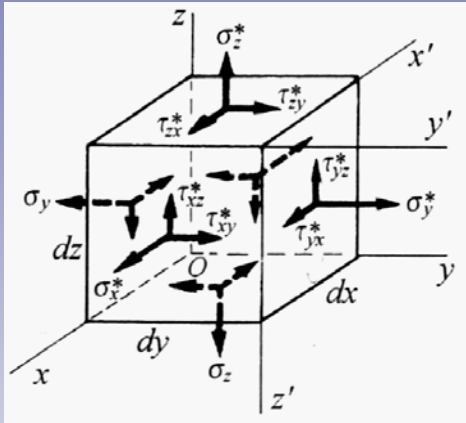
COMPONENTES DEL MOMENTO RESULTANTE \vec{M} :



Aplicado en el centro de gravedad G de la sección:

$$\vec{M} = M_T \vec{i} + M_y \vec{j} + M_z \vec{k} \left\{ \begin{array}{l} M_T : \text{momento TORSOR, giro sobre sí mismo} \\ \vec{M}_F = M_y \vec{j} + M_z \vec{k} : \text{momento FLECTOR, giro lateral en XZ y XY} \end{array} \right.$$

Relación entre \vec{R} y \vec{M} y las componentes de la matriz de tensiones:

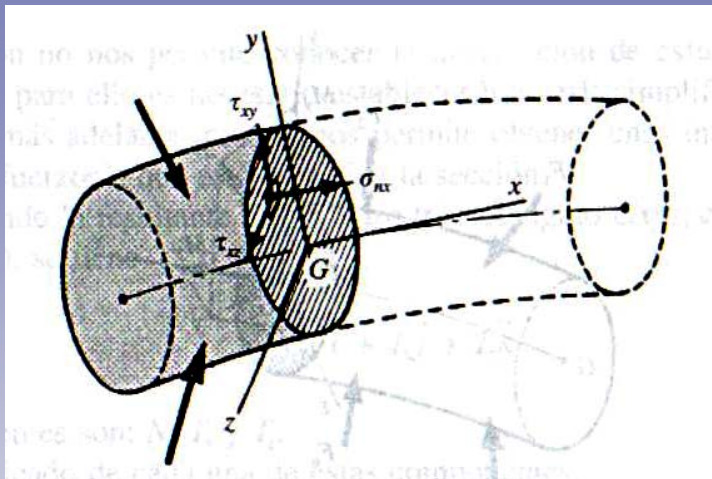


$$N = \iint_{\Omega} \sigma_x d\Omega$$

$$T_y = \iint_{\Omega} \tau_{xy} d\Omega$$

$$T_z = \iint_{\Omega} \tau_{xz} d\Omega$$

Relación entre \vec{R} y \vec{M} y las componentes de la matriz de tensiones:



$$\vec{M} = \iint_{\Omega} \begin{vmatrix} \vec{i} & \vec{j} & \vec{k} \\ 0 & y & z \\ \sigma_x d\Omega & \tau_{xy} d\Omega & \tau_{xz} d\Omega \end{vmatrix} =$$

$$= M_T \vec{i} + M_y \vec{j} + M_z \vec{k}$$

$$M_T = \iint_{\Omega} (\tau_{xz} y - \tau_{xy} z) d\Omega$$

$$M_y = \iint_{\Omega} \sigma_x z d\Omega$$

$$M_z = \iint_{\Omega} \sigma_x y d\Omega$$

3.4.2.Solicitaciones exteriores sobre un prisma mecánico

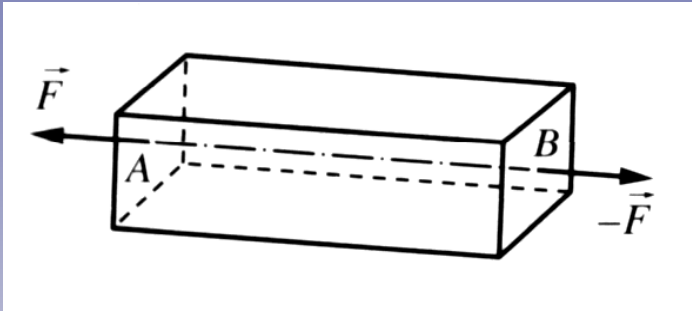
FUERZAS Y MOMENTOS: 1) CARGAS: aplicadas directamente

2) REACCIONES

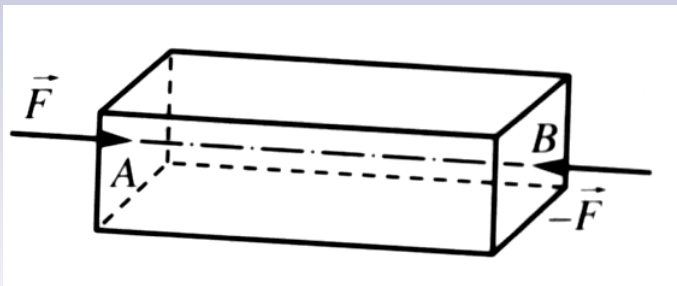
CLASIFICACIÓN DE CARGAS:

- FUERZAS DE VOLUMEN: sobre todos los puntos, fuerza gravitatoria
- FUERZAS DE SUPERFICIE: superficie exterior, concentradas o distribuidas
- CARGAS PERMANENTES: existen siempre, peso, techos, pavimentos..
- CARGAS ACCIDENTALES O SOBRECARGAS: personas, muebles, máquinas, vehículos, variaciones térmicas, acciones sísmicas...
- CARGAS ESTÁTICAS: no varían módulo, punto de aplicación o dirección
- CARGAS DINÁMICAS: varían con el tiempo, vibraciones de las estructuras

TRACCIÓN Y COMPRESIÓN

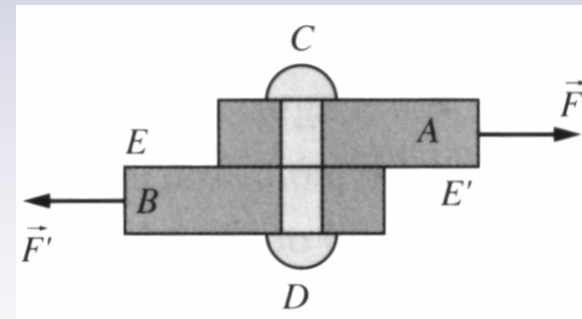
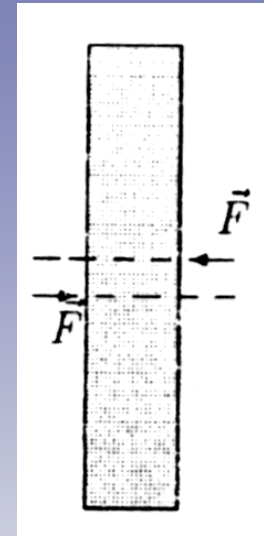


Cables....



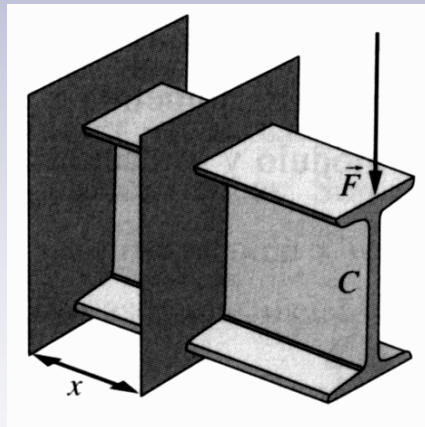
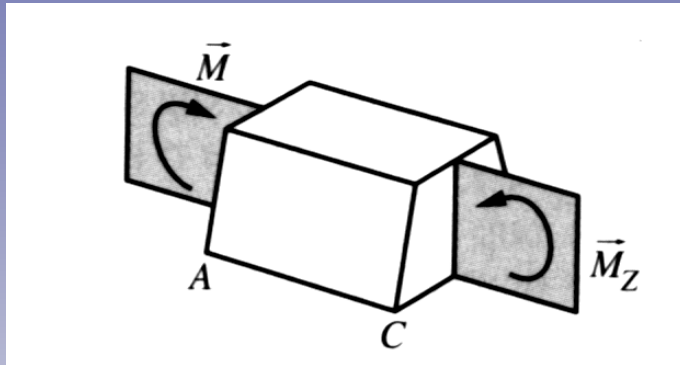
Columnas y pilares.....

CORTANTE



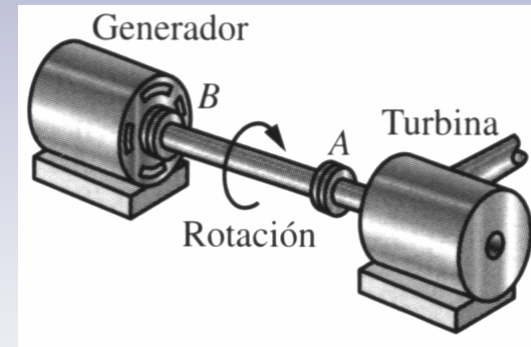
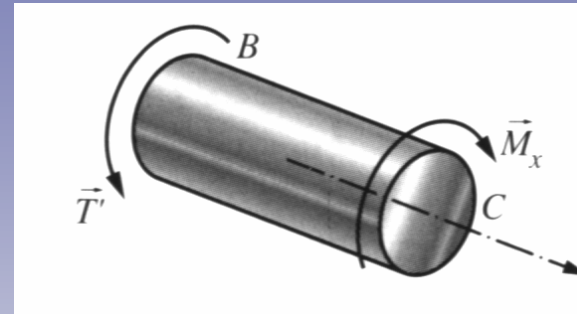
Conexiones atornilladas y remachadas..

FLEXIÓN



Tuberías, vigas....

TORSIÓN

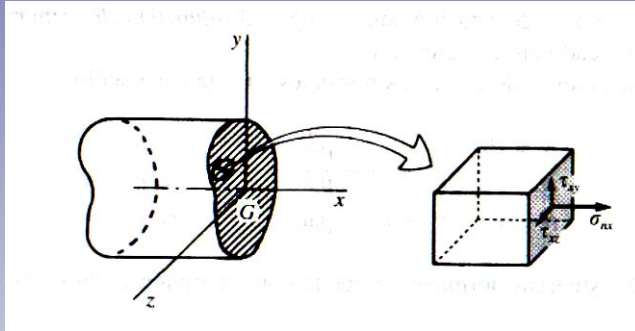


Ejes de transmisión....

3.4.3. Tracción y compresión

TRACCIÓN O COMPRESIÓN MONOAXIAL:

en cada sección solo actúa el esfuerzo normal N



$$N = \iint_{\Omega} \sigma_x d\Omega$$

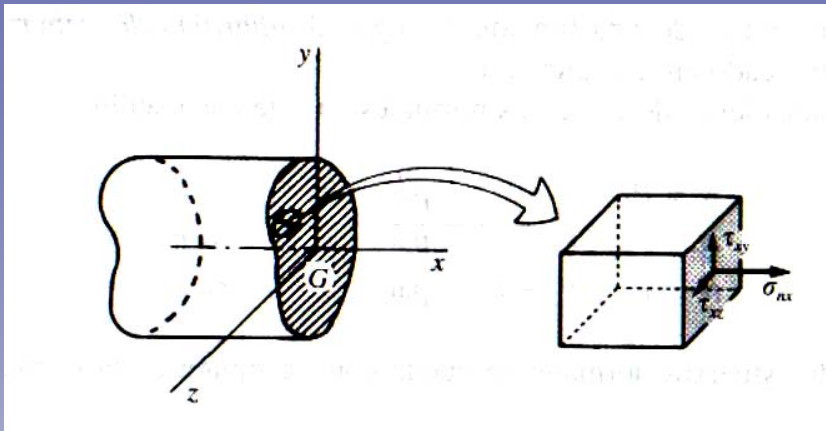
$$T_y = \iint_{\Omega} \tau_{xy} d\Omega$$

$$T_z = \iint_{\Omega} \tau_{xz} d\Omega$$

$$M_T = \iint_{\Omega} (\tau_{xz} y - \tau_{xy} z) d\Omega$$

$$M_y = \iint_{\Omega} \sigma_x z d\Omega$$

$$M_z = \iint_{\Omega} \sigma_x y d\Omega$$



$$\iint_{\Omega} \sigma_x dydz = N$$

$$\iint_{\Omega} (\tau_{xz} y - \tau_{xy} z) dydz = 0$$

$$\iint_{\Omega} \tau_{xy} dydz = 0$$

$$\iint_{\Omega} \sigma_x y dydz = 0$$

$$\iint_{\Omega} \tau_{xz} dydz = 0$$

$$\iint_{\Omega} \sigma_x z dydz = 0$$

HIPÓTESIS SIMPLIFICATIVA:

Hipótesis de Bernoulli o de conservación de las secciones planas

- secciones transversales: planas y perpendiculares a la línea media después de la deformación
- hipótesis comprobada experimentalmente

$$\iint_{\Omega} \sigma_x dydz = N \Rightarrow \sigma_x \iint_{\Omega} dydz = N \Rightarrow \sigma_x = \frac{N}{\Omega}$$

$$\gamma_{xy} = \gamma_{xz} = \gamma_{yz} = 0$$

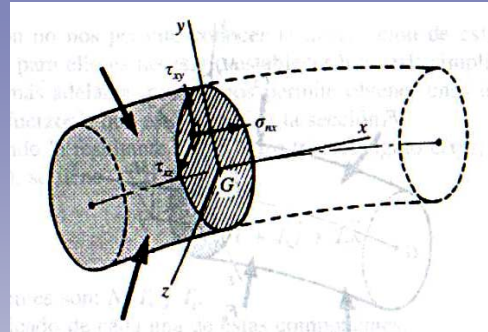
$$\tau_{xy} = \tau_{xz} = \tau_{yz} = 0$$

$$\tau_{xy} = \tau_{xz} = \tau_{yz} = 0$$

$$\gamma_{xy} = \gamma_{xz} = \gamma_{yz} = 0$$

EJES PRINCIPALES:

- ejes contenidos en el plano de la sección
- eje del prisma



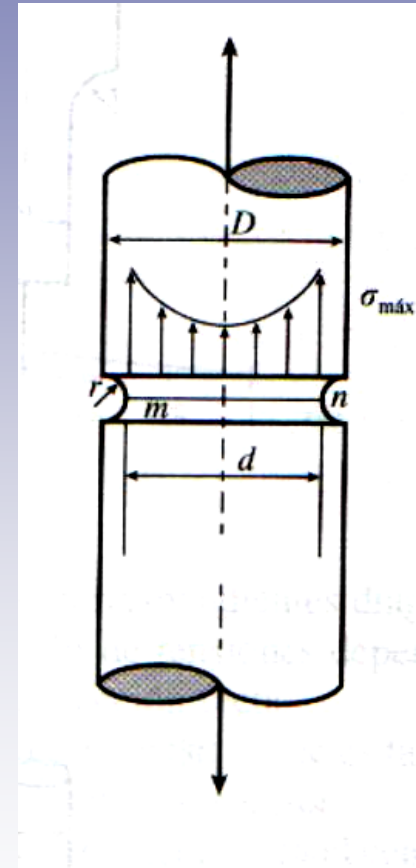
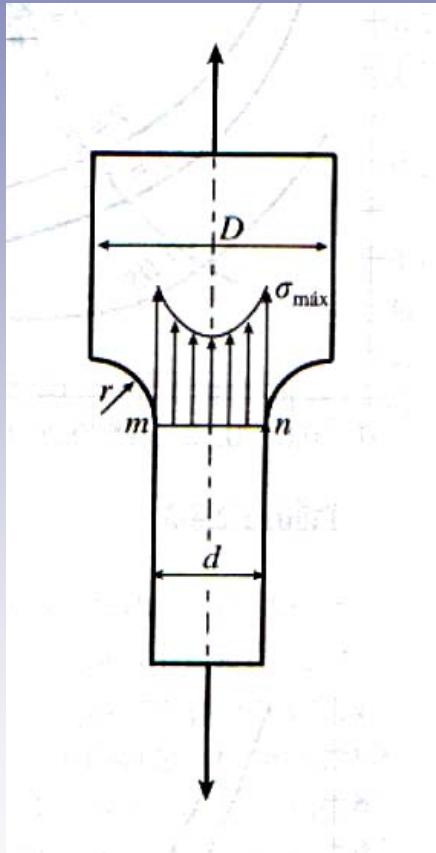
TENSIONES PRINCIPALES:

$$\sigma_1 = \frac{N}{\Omega} \quad \sigma_2 = \sigma_3 = 0 \quad T = \begin{bmatrix} \sigma_1 & 0 & 0 \\ 0 & 0 & 0 \\ 0 & 0 & 0 \end{bmatrix}$$

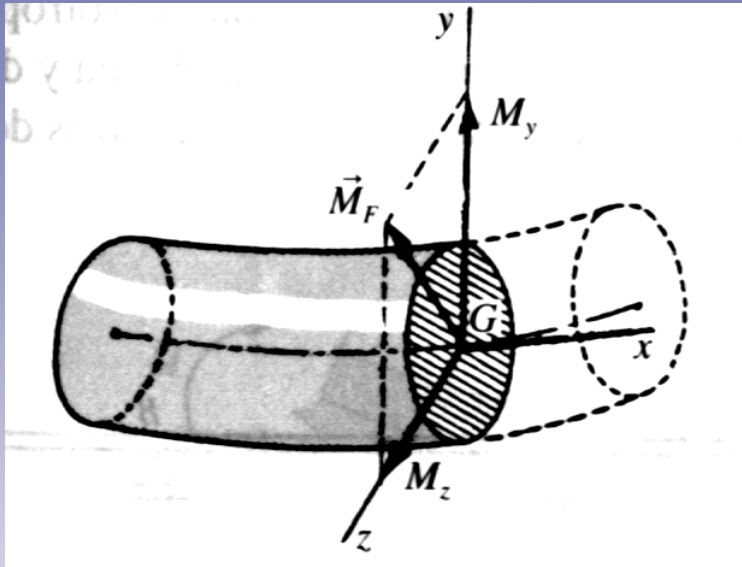
DEFORMACIONES:

$$\varepsilon_x = \frac{\sigma_x}{E} \quad \varepsilon_y = \varepsilon_z = -\frac{\nu\sigma_x}{E} \quad \gamma_{xy} = \gamma_{xz} = \gamma_{yz} = 0$$

TEOREMA DE BERNOULLI: no es aplicable en secciones próximas a variaciones de Área. En ese caso, TEORÍA DE LA ELASTICIDAD.



3.4.4. Flexión pura



FLEXIÓN PURA:

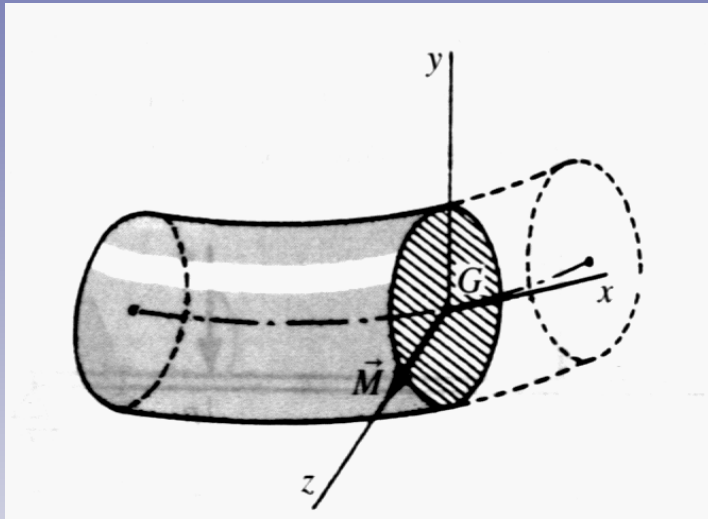
en toda sección recta:

- resultante nula de fuerzas
- momento contenido en plano de la sección

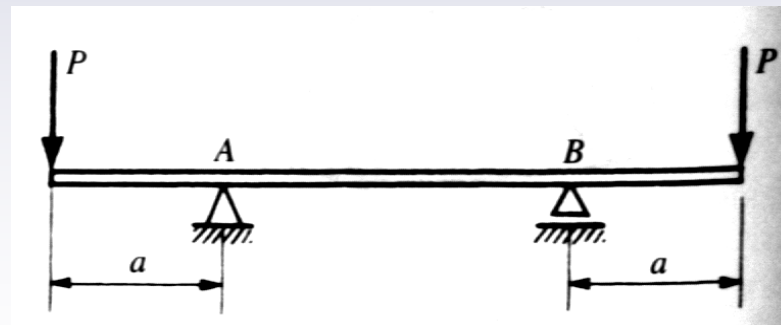
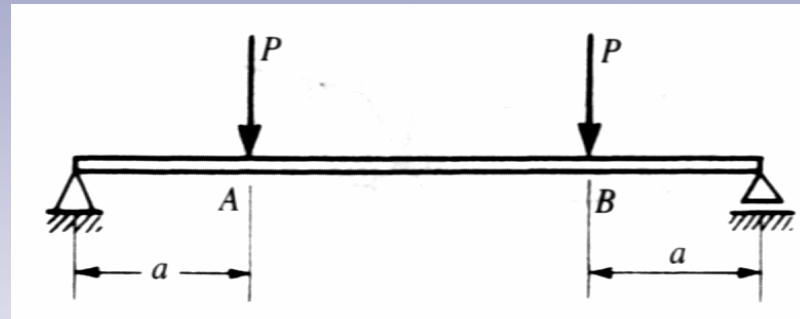
FLEXIÓN PURA ASIMÉTRICA: M_F componentes según dos ejes principales de inercia de la sección

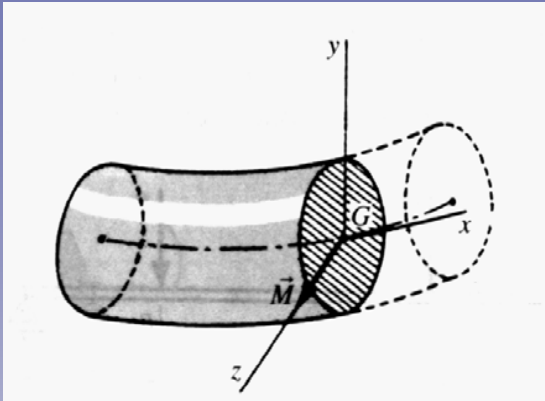
FLEXIÓN PURA SIMÉTRICA: M_F según un eje principal de inercia

FLEXIÓN PURA SIMÉTRICA:



TRAMOS AB DE LAS SIGUIENTES VIGAS:





$$N = \iint_{\Omega} \sigma_x d\Omega \quad T_y = \iint_{\Omega} \tau_{xy} d\Omega \quad T_z = \iint_{\Omega} \tau_{xz} d\Omega$$

$$M_T = \iint_{\Omega} (\tau_{xz} y - \tau_{xy} z) d\Omega \quad M_z = \iint_{\Omega} \sigma_x y d\Omega$$

$$M_y = \iint_{\Omega} \sigma_x z d\Omega$$

FLEXIÓN PURA SIMÉTRICA:

$$\iint_{\Omega} \sigma_x dydz = 0$$

$$\iint_{\Omega} \tau_{xy} dydz = 0$$

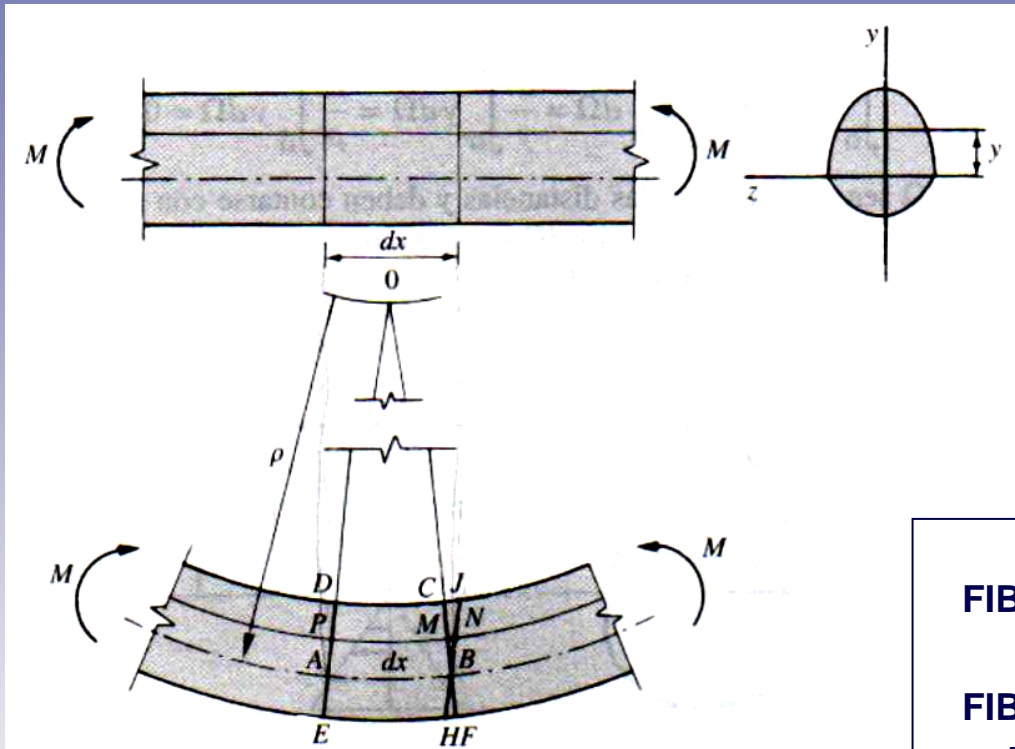
$$\iint_{\Omega} \tau_{xz} dydz = 0$$

$$\iint_{\Omega} (\tau_{xz} y - \tau_{xy} z) dydz = 0$$

$$\iint_{\Omega} \sigma_x z dydz = 0$$

$$\iint_{\Omega} \sigma_x y dydz = M_z = M_F$$

DESCRIPCIÓN DEL PRISMA:



FIBRAS COMPRIMIDAS

FIBRA NEUTRA:

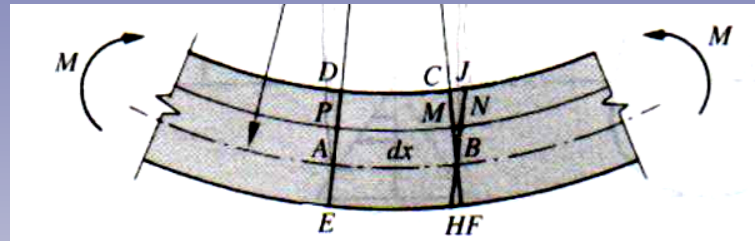
- ninguna tensión
- contiene G de las secciones

FIBRAS ALARGADAS

HIPÓTESIS SIMPLIFICATIVAS (comprobación experimental):

1. Límites de elasticidad proporcional
2. H. de Bernoulli: las secciones transversales se mantienen planas

DE LA SEGUNDA HIPÓTESIS:



Secciones planas: no se producen deformaciones angulares

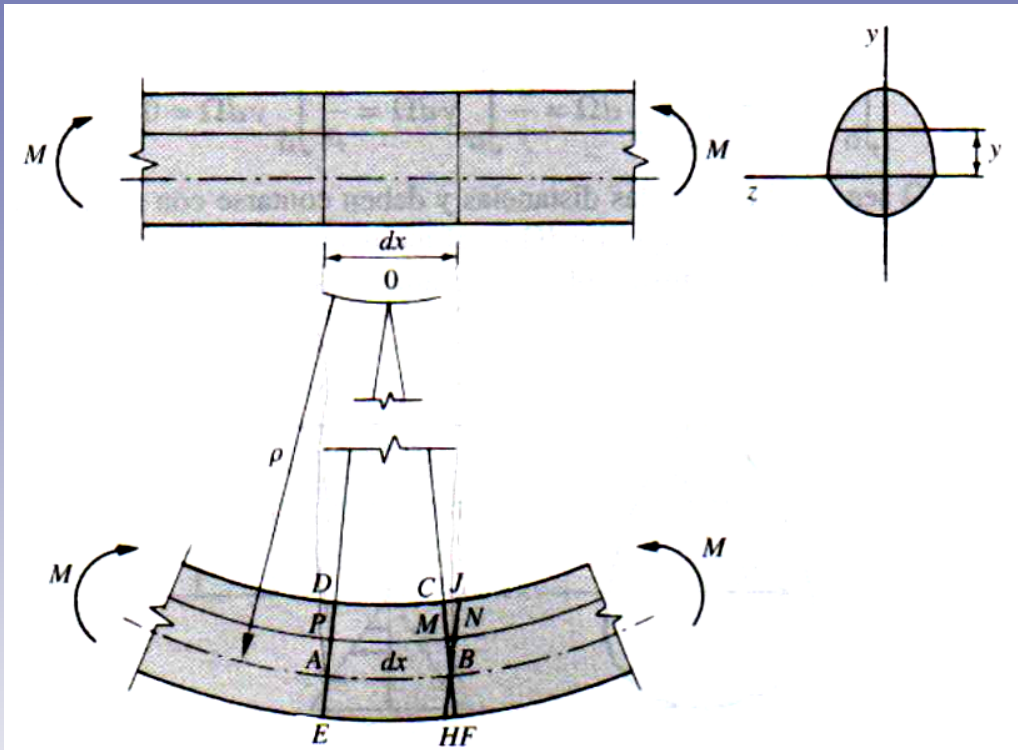
$(\tau_{xy}, \tau_{xz}, \sigma_x)$

$$\tau = G\gamma = 0 \Rightarrow \tau_{xy} = \tau_{xz} = 0$$

σ_x : LEY DE NAVIER

MÉTODO GEOMÉTRICO

MÉTODO GEOMÉTRICO:



AB: fibra neutra

ρ : radio de curvatura

DE – CF: dos secciones rectas

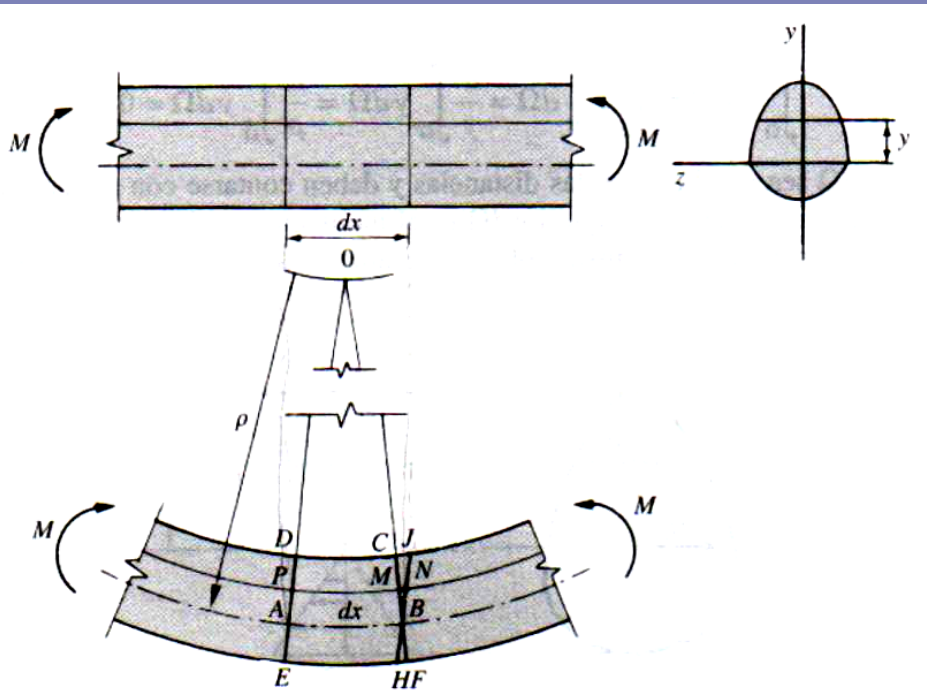
MN: acortamiento fibra encima de fibra neutra

HF: alargamiento fibra debajo de fibra neutra

Deformación para fibra situada a distancia “y” de la fibra neutra:

$$\varepsilon = \frac{dx' - dx}{dx} = \frac{-MN}{AB} = \frac{HF}{AB}$$

MÉTODO GEOMÉTRICO:



TRIÁNGULOS SEMEJANTES: MNB - ABO

$$\frac{MN}{AB} = \frac{MB}{AO} = \frac{y}{\rho}$$

$$\varepsilon = \frac{dx' - dx}{dx} = \frac{-MN}{AB} = \frac{HF}{AB} \Rightarrow$$

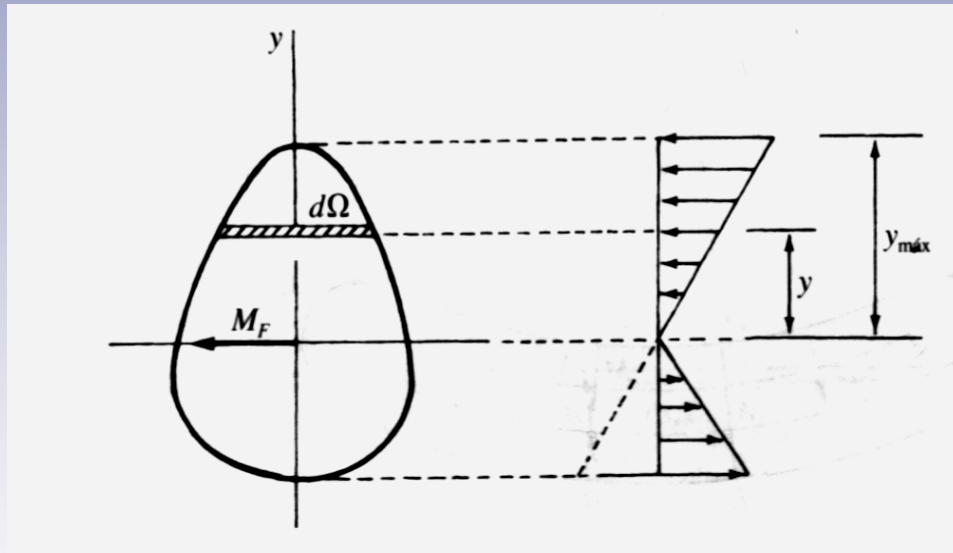
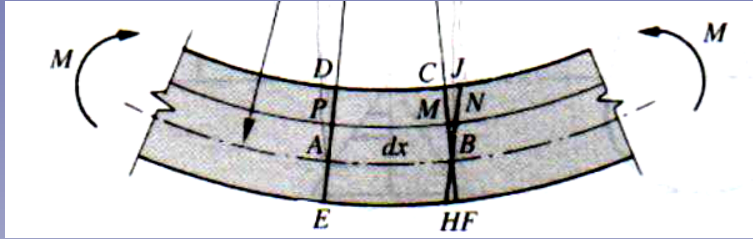
$$\varepsilon = -\frac{y}{\rho}$$

LEY DE HOOKE:

$$\varepsilon = \frac{\sigma_x}{E} \Rightarrow \frac{\sigma_x}{E} = -\frac{y}{\rho} \Rightarrow \sigma_x = -\frac{E}{\rho} y$$

LEY DE NAVIER

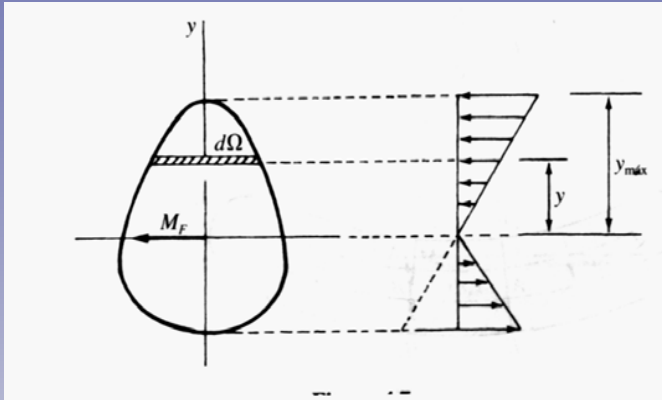
MÉTODO GEOMÉTRICO: LEY DE NAVIER



$$\sigma = -\frac{E}{\rho} y$$

$$\sigma = \frac{E}{\rho} y$$

MÉTODO GEOMÉTRICO:



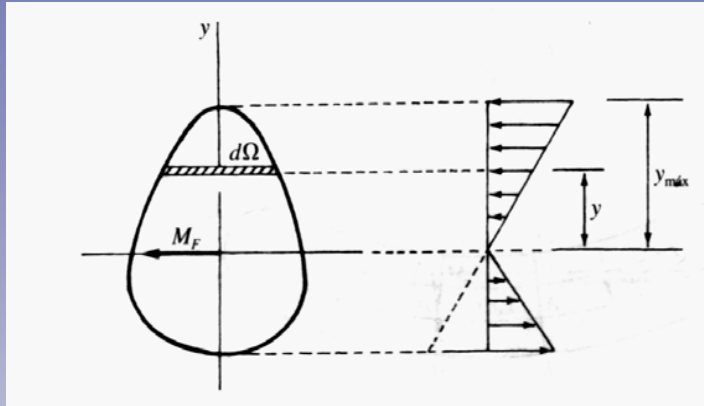
FLEXIÓN PURA: $dF = \sigma d\Omega \Rightarrow F = 0$

$$F = \int \sigma d\Omega = \frac{E}{\rho} \int y d\Omega = 0$$
$$\sigma = \frac{E}{\rho} y$$

$$\int y d\Omega = 0$$

La fibra neutra contiene G de todas las secciones

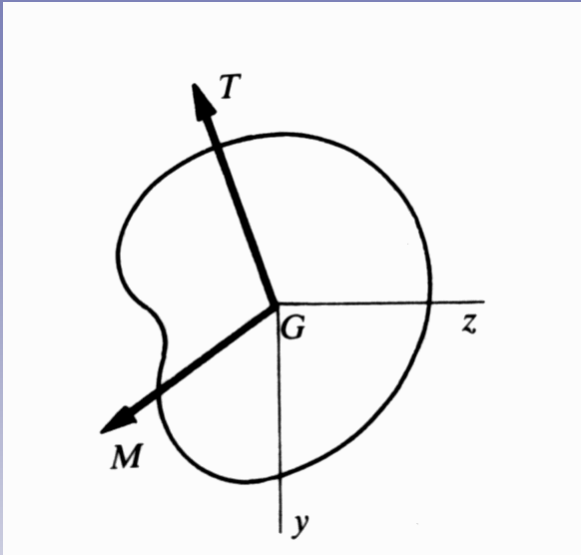
MÉTODO GEOMÉTRICO:



$$\left. \begin{aligned} dF &= \sigma d\Omega \\ \sigma &= \frac{E}{\rho} y \end{aligned} \right\} \begin{aligned} M_F &= \int y dF = \int y \sigma d\Omega = \frac{E}{\rho} \int y^2 d\Omega = \frac{E}{\rho} I_z \\ I_z &: \text{momento de inercia respecto eje Z} \end{aligned}$$

$$\frac{E}{\rho} = \frac{M_F}{I_z} \Rightarrow \sigma = \frac{M_F}{I_z} y \quad \text{LEY DE NAVIER}$$

3.4.5. Flexión simple



FLEXIÓN SIMPLE:

en toda sección recta:

- resultante cortante de fuerzas
- momento flector

$$N = \iint_{\Omega} \sigma_x dydz = 0$$

$$\iint_{\Omega} \tau_{xy} dydz = T_y$$

$$\iint_{\Omega} \tau_{xz} dydz = T_z$$

$$M_T = \iint_{\Omega} (\tau_{xz} y - \tau_{xy} z) dydz = 0$$

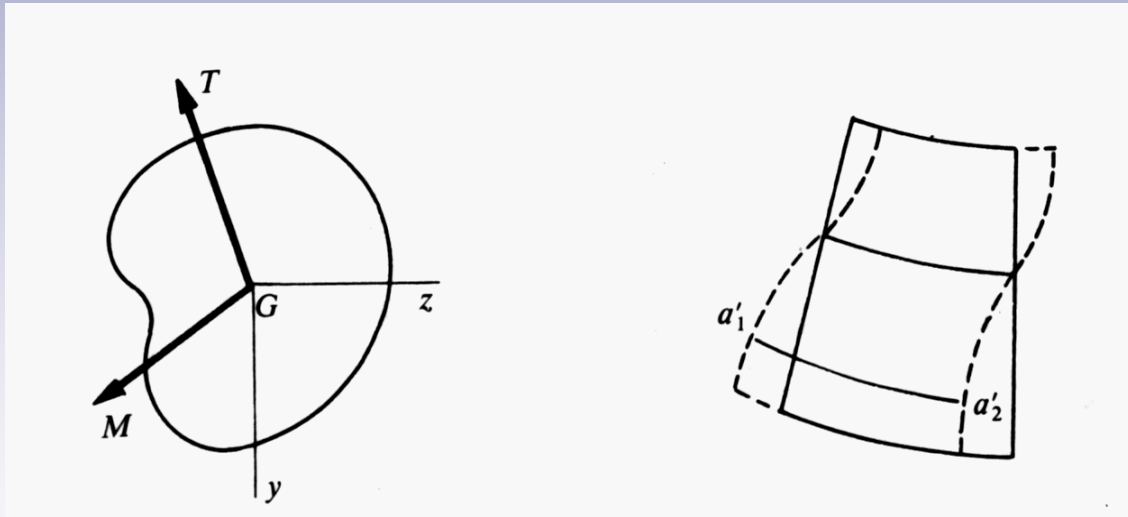
$$\iint_{\Omega} \sigma_x z dydz = M_y$$

$$\iint_{\Omega} \sigma_x y dydz = M_z$$

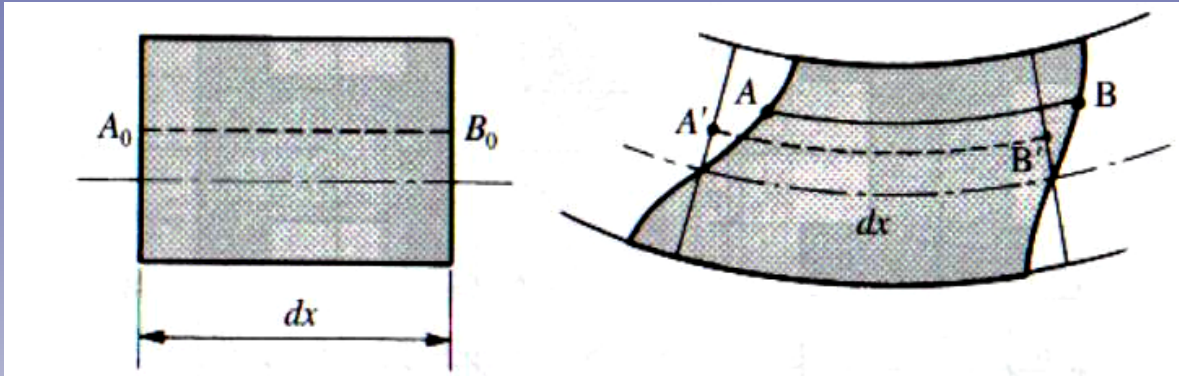
Fuerza cortante: tensiones cortantes y deformaciones angulares

$$\iint_{\Omega} \tau_{xy} dydz = T_y \quad \iint_{\Omega} \tau_{xz} dydz = T_z$$

Alabeo de las secciones transversales:



¿Es válida la LEY DE NAVIER en flexión simple?



1) se admite alabeo: tensiones cortantes

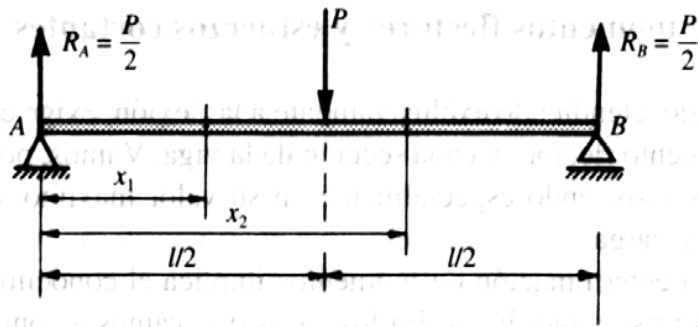
2) se desprecia alabeo relativo: $A_0B_0 \Rightarrow AB \sim A'B'$

- Si tensión cortante constante en sección: resultado exacto

- Si tensión cortante varía: error despreciable si dimensiones transversales pequeñas comparadas con longitud

$$\sigma = \frac{M_F}{I_z} y$$

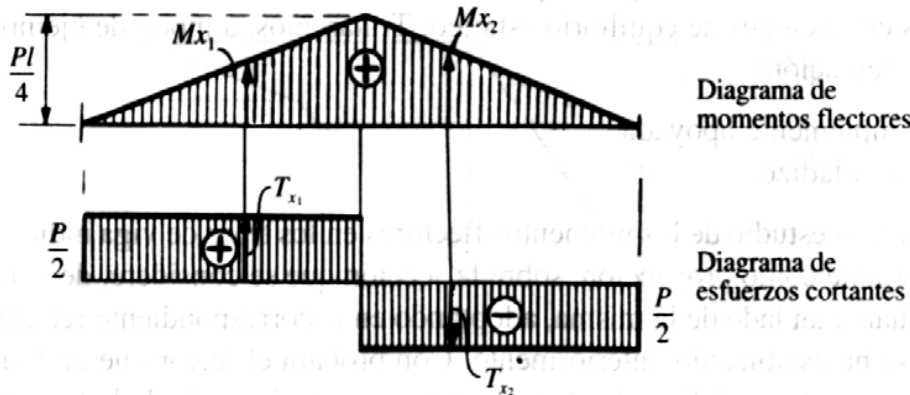
EJEMPLOS: Viga simplemente apoyada



$$0 \leq x \leq \frac{l}{2} :$$

$$M_{x1} = R_A x = \frac{P}{2} x$$

$$T_{x1} = R_A = \frac{P}{2}$$



$$\frac{l}{2} \leq x \leq l :$$

$$T_{x2} = R_A - P = -\frac{P}{2} = -R_B$$

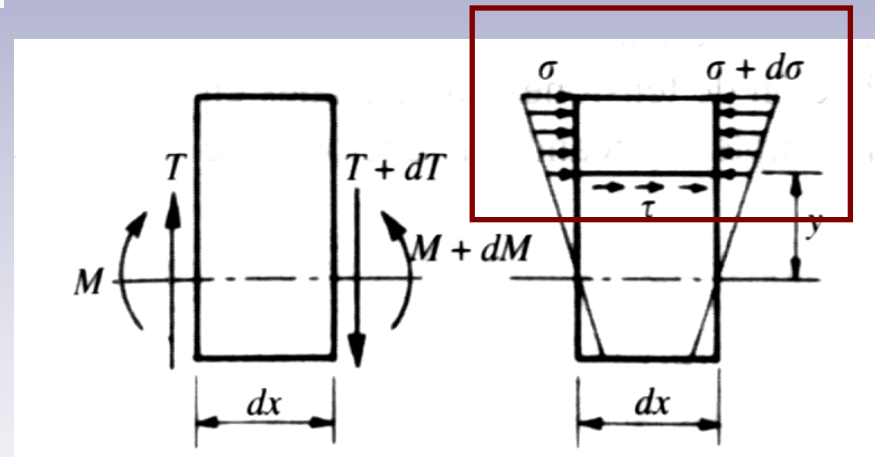
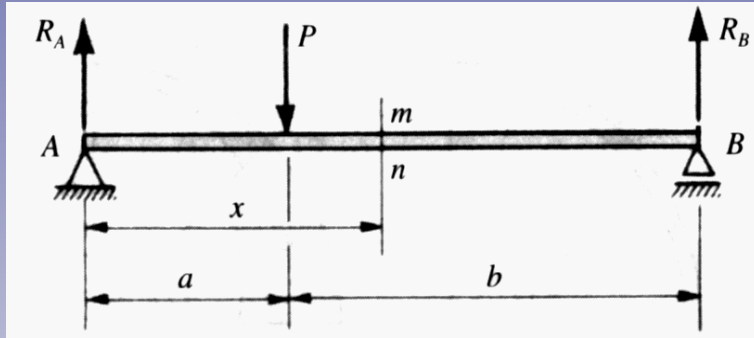
$$M_{x2} = R_A x - P(x - \frac{l}{2}) = \frac{P}{2} (l - x)$$

$$R_A + R_B - P = 0$$

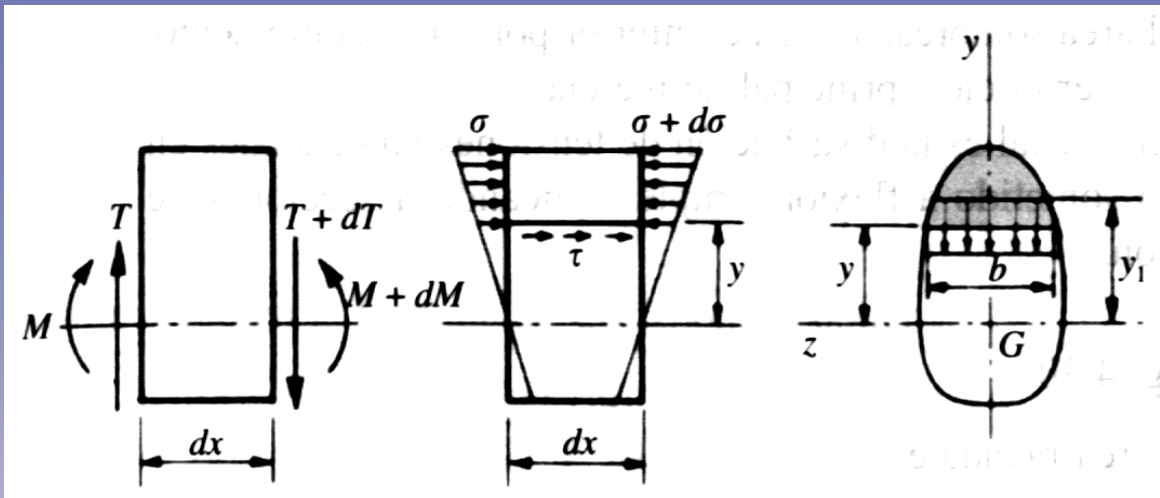
$$R_A \frac{l}{2} - R_B \frac{l}{2} = 0 \Rightarrow R_A = R_B = \frac{P}{2}$$

TENSIONES CORTANTES:

En general, tensiones cortantes no constante: $\tau \neq \frac{T(x)}{S(x)}$



- Dos secciones: $(x, x+dx)$
- Momentos flectores: $(M, M+dM)$
- Equilibrio de la parte cortada a una distancia “y” de la fibra neutra



$$\sigma = \frac{M_F}{I_z} y$$

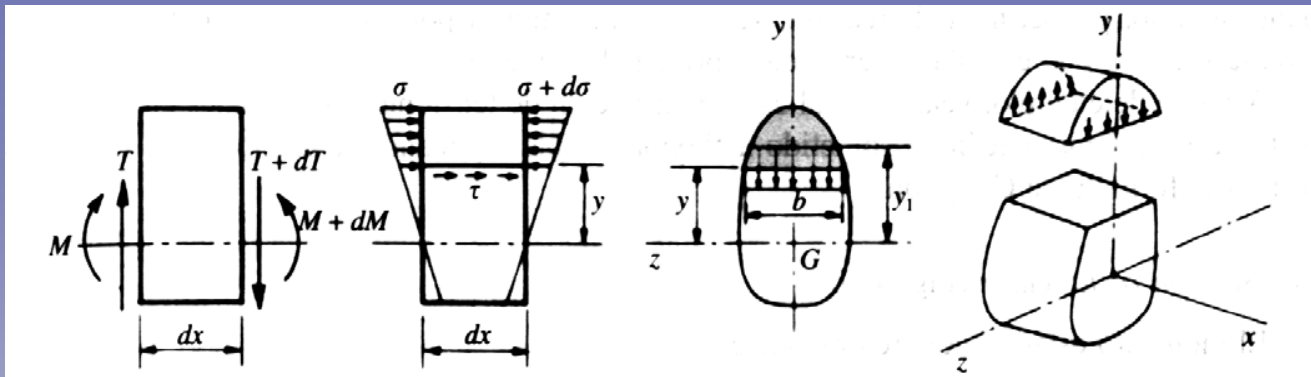
Tensiones normales parte izquierda:

$$N = \int \sigma d\Omega = \frac{M}{I_z} \int y_1 d\Omega = \frac{Mm}{I_z} \quad m = \int y_1 d\Omega$$

Tensiones normales parte derecha:

$$N + dN = \frac{(M + dM)m}{I_z}$$

$$dN = \frac{dMm}{I_z}$$



Teorema de Cauchy

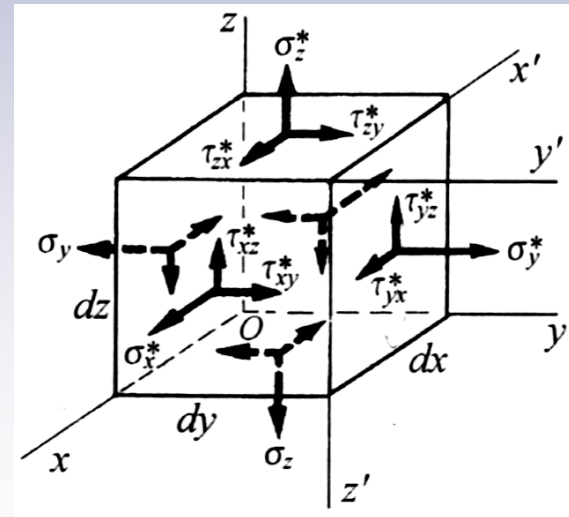
$$dN = \frac{dMm}{I_z} \Rightarrow \tau$$

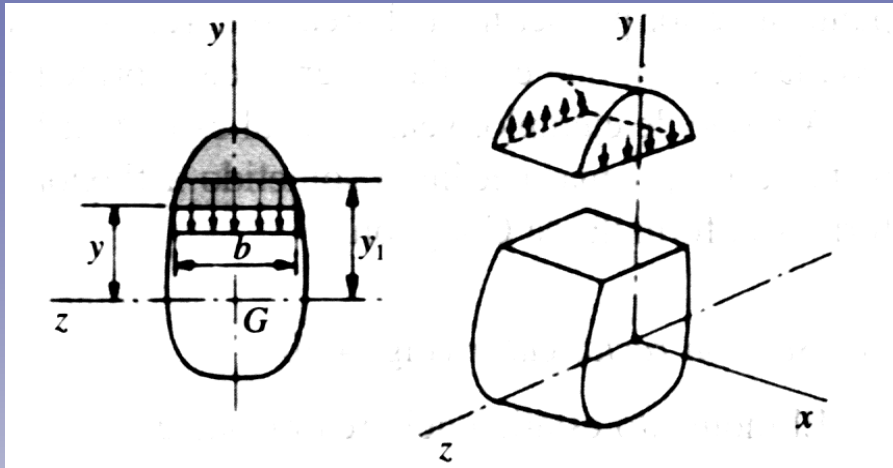
$$\tau_{yz} = \tau_{zy}$$

$$\tau b dx = \frac{dMm}{I_z} = \frac{T dx m}{I_z}$$

TEOREMA DE COLIGNON

$$\tau = \frac{Tm}{bI_z}$$





$$\tau = \frac{Tm}{bI_z}$$

Puntos superior e inferior de la sección:

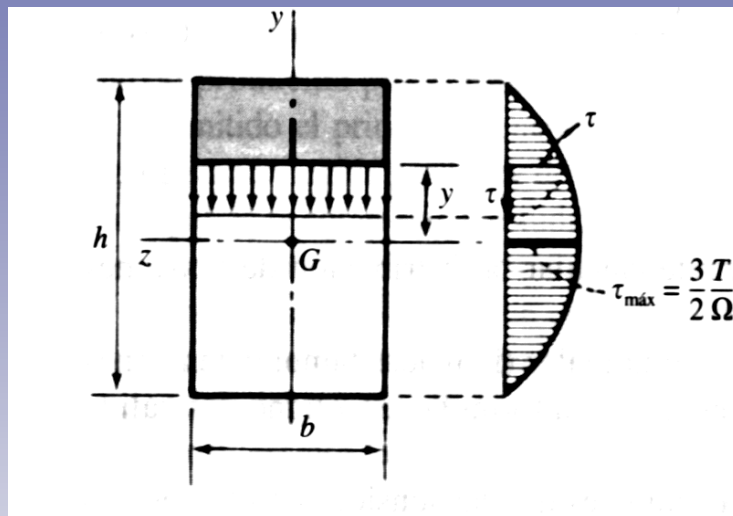
$$m = 0 \Rightarrow \tau = 0$$

$$m = \int y_1 d\Omega$$

- Punto superior: área nula
- Punto inferior: coordenada Y del CM

Distribución de tensiones tangenciales:

a) Sección rectangular



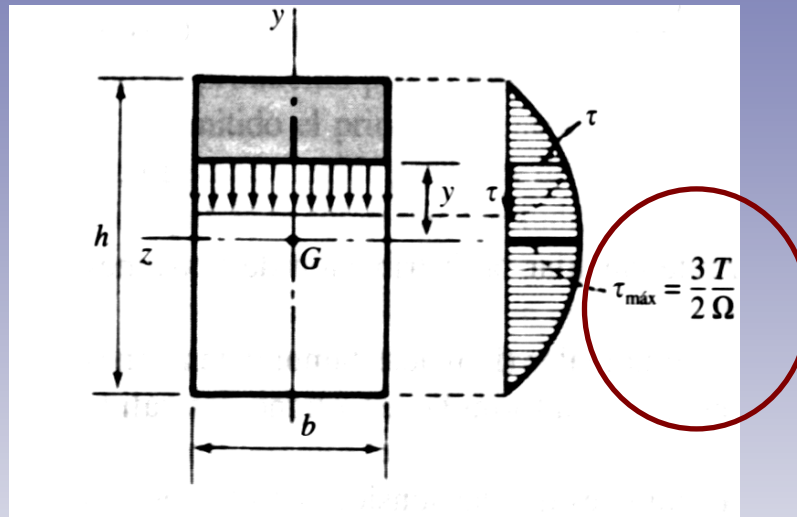
$$\tau = \frac{Tm}{bl_z}$$

$$m = \int y_1 d\Omega = \int_y^{h/2} y b dy = \left[\frac{by^2}{2} \right]_y^{h/2} = \frac{b}{2} \left(\frac{h^2}{4} - y^2 \right)$$

$$I_z = \int y_1^2 d\Omega = 2 \int_0^{h/2} y^2 b dy = 2 \left[\frac{by^3}{3} \right]_0^{h/2} = \frac{bh^3}{12}$$

Distribución de tensiones tangenciales:

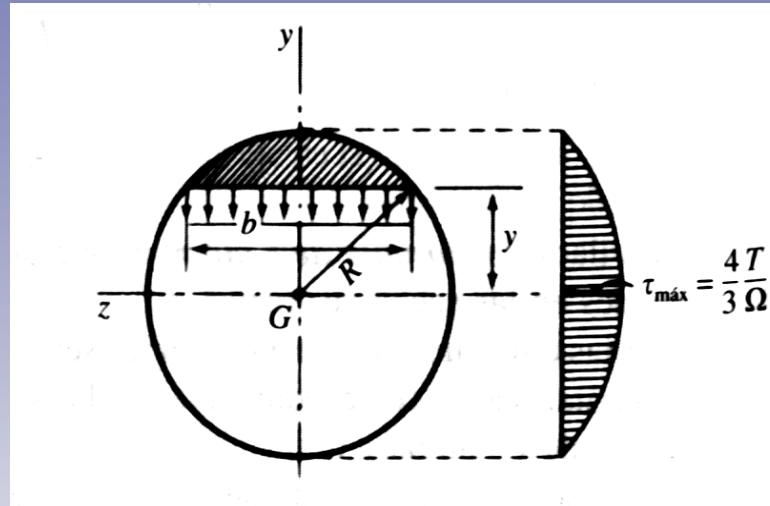
a) Sección rectangular



$$\tau = \frac{Tm}{bI_z} = \frac{T \frac{b}{8} (h^2 - 4y^2)}{b \frac{bh^3}{12}} = \frac{3T(h^2 - 4y^2)}{2bh^3} = \frac{3T}{2\Omega} \frac{(h^2 - 4y^2)}{h^2}$$

Distribución de tensiones tangenciales:

b) Sección circular



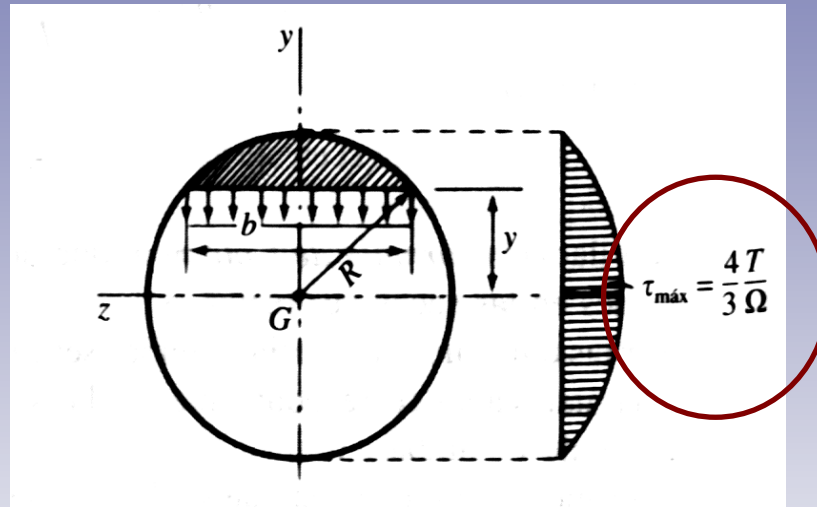
$$\tau = \frac{Tm}{bI_z}$$

$$m = \int y_1 d\Omega = \int_y^R y b dy = \int_y^R y(2\sqrt{R^2 - y^2}) dy = -\frac{2}{3} \left[(R^2 - y^2)^{3/2} \right]_y^R = \frac{2}{3} (R^2 - y^2)^{3/2}$$

$$I_z = \int y_1^2 d\Omega = 2 \int_0^{h/2} y^2 b dy = \frac{\pi R^4}{4}$$

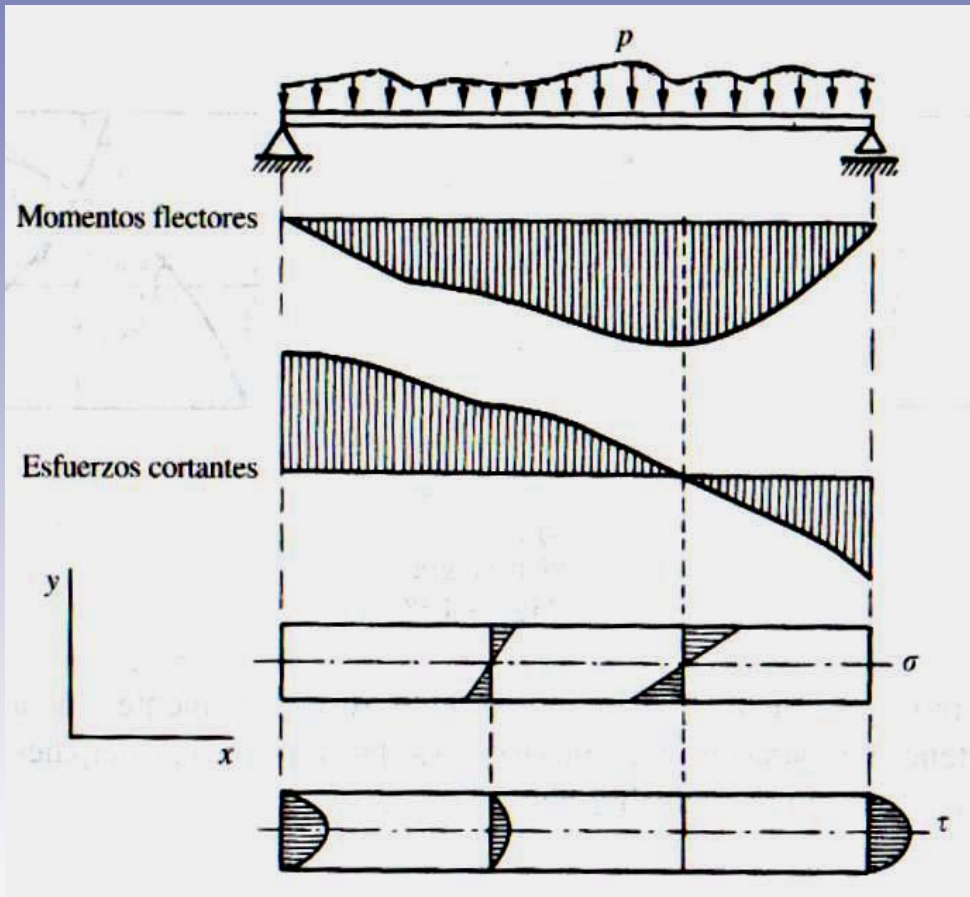
Distribución de tensiones tangenciales:

b) Sección circular



$$\tau = \frac{Tm}{bI_z} = \frac{T \frac{2}{3} (R^2 - y^2)^{3/2}}{2\sqrt{R^2 - y^2} \frac{\pi R^4}{4}} = \frac{4 T}{3 \Omega} \frac{R^2 - y^2}{R^2}$$

Tensiones principales:



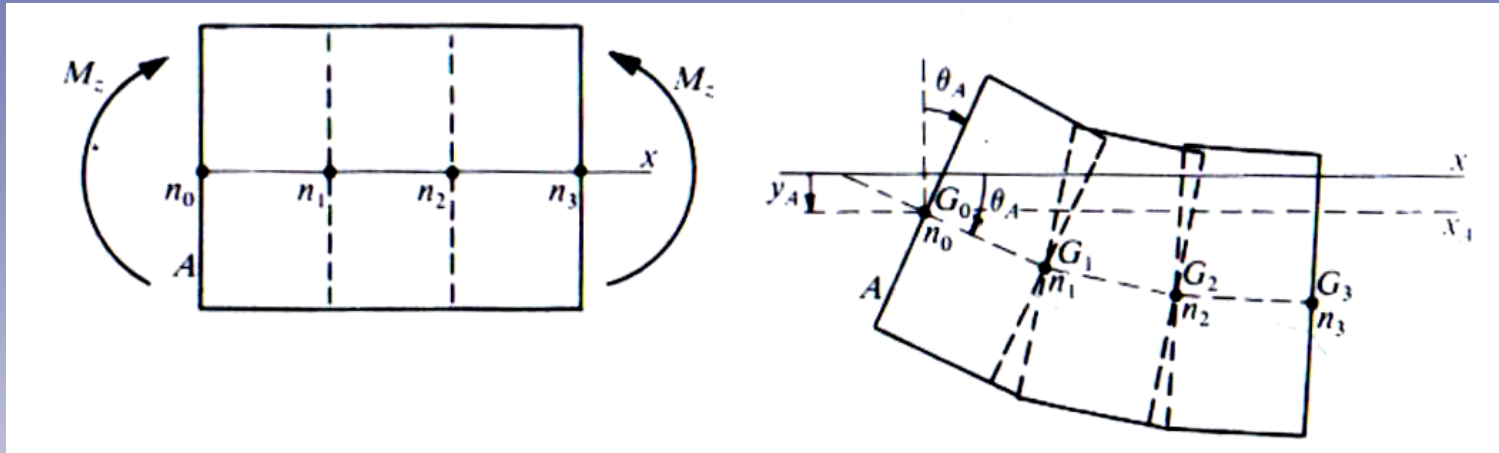
$$\sigma_x = \frac{M_z}{I_z} y$$

$$\sigma_y = \sigma_z = 0$$

$$\tau_{yz} = \frac{Tm}{bI_z}$$

$$\tau_{xy} = \tau_{xz} = 0$$

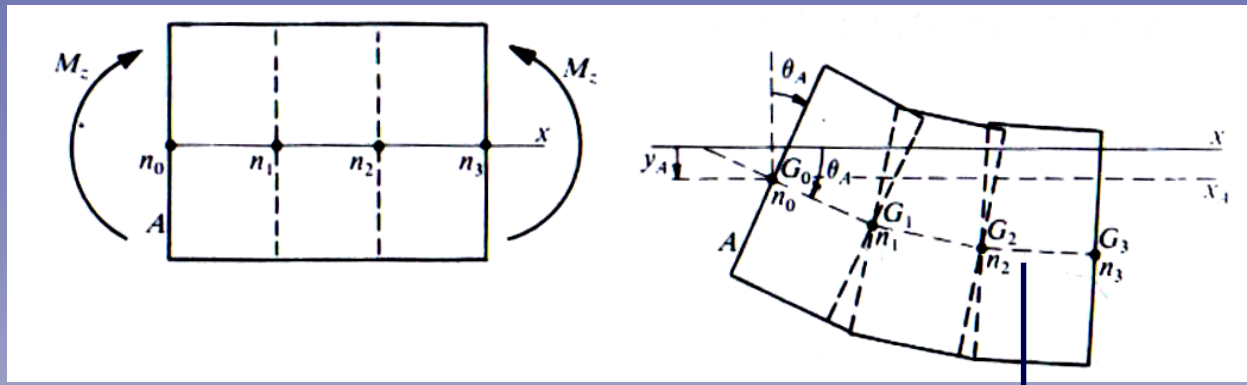
3.4.6. Flexión: deformaciones



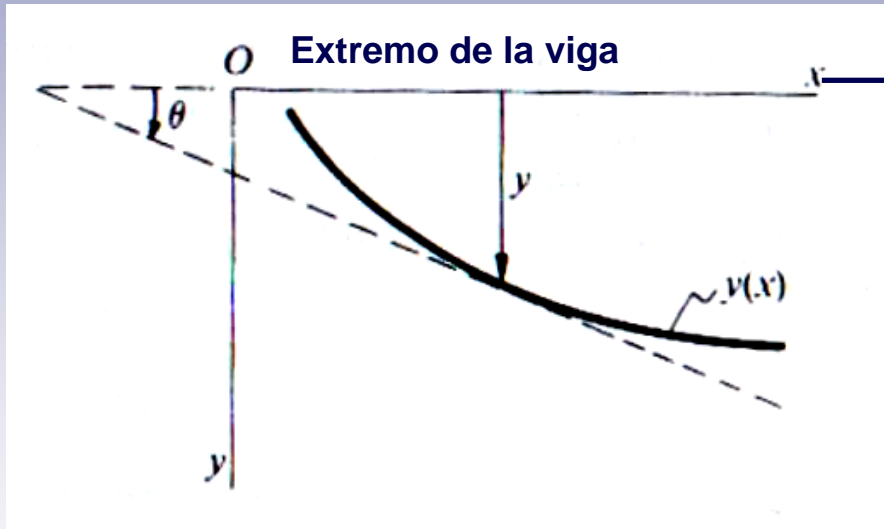
Dos magnitudes definen la deformación:

θ_A : ángulo girado por sección transversal

y_A : desplazamiento perpendicular al eje de la viga del centro de gravedad
(desplazamiento despreciable en eje X)



ELÁSTICA DE LA VIGA



Pequeñas deformaciones:

$$\frac{d^2 y}{d^2 x} = \frac{M_z}{EI_z}$$

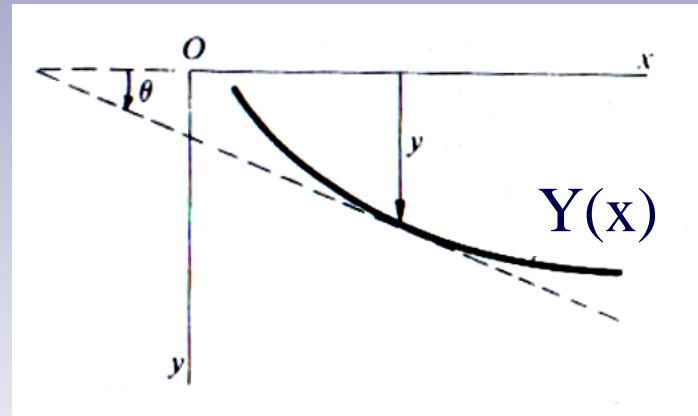
ECUACIÓN DIFERENCIAL
APROXIMADA DE LA ELÁSTICA

ECUACIÓN DIFERENCIAL APROXIMADA DE LA ELÁSTICA

$$\frac{d^2 y}{d^2 x} = \frac{M_z}{EI_z}$$

DOBLE INTEGRACIÓN: dos constantes de condiciones de contorno

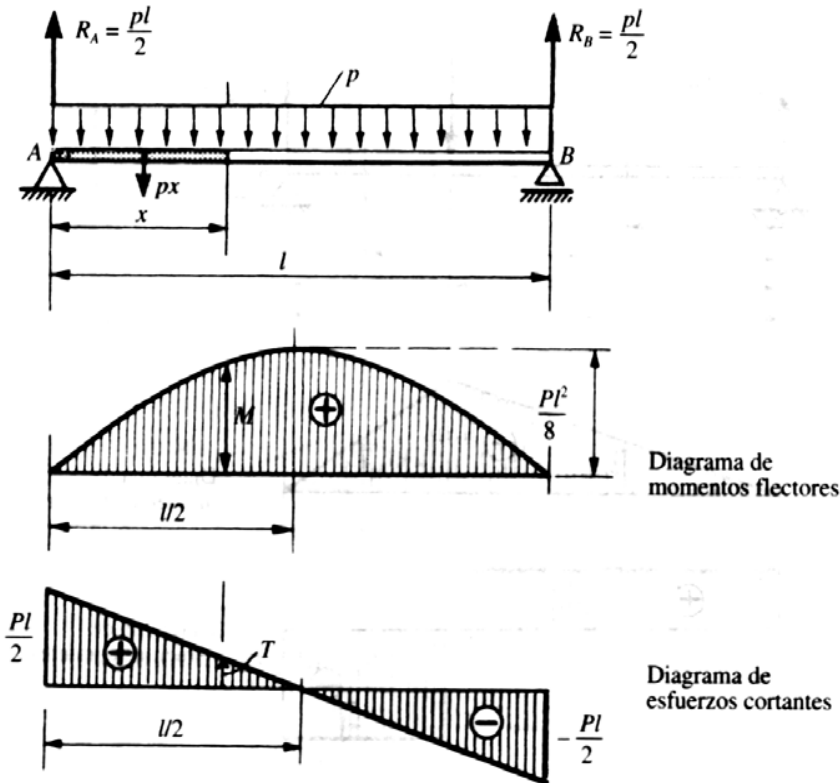
Flecha: Y_{\max} , deformación máxima



VALIDEZ:

- flexión pura
- flexión simple: - $T(x)$ constante
 - $T(x)$ no constante: dimensiones transversal \ll longitud

Ejemplo: Viga simplemente apoyada con carga uniformemente repartida



$$R_A = R_B = \frac{pl}{2}$$

$$M = R_A x - px \frac{x}{2} = \frac{pl}{2} x - \frac{px^2}{2}$$

$$T = R_A - px = \frac{pl}{2} - px$$

Ecuación diferencial:

$$\frac{d^2 y}{d^2 x} = \frac{M_z}{EI_z} \quad M = R_A x - px \frac{x}{2} = \frac{pl}{2} x - \frac{px^2}{2}$$

$$M_z = EI_z \frac{d^2 y}{d^2 x} = \frac{pl}{2} x - \frac{p}{2} x^2$$

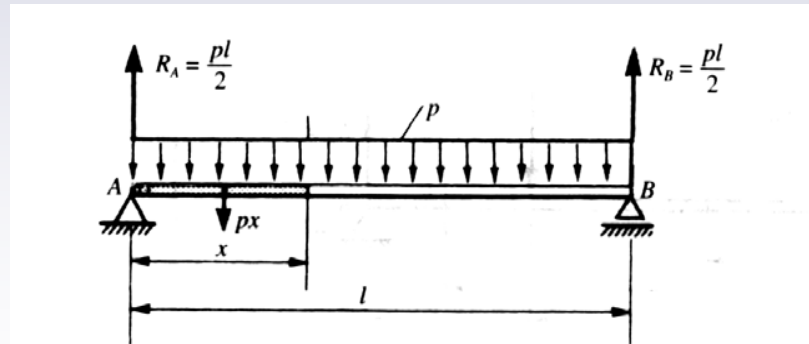
Integrando dos veces:

$$EI_z y = \frac{pl}{12} x^3 - \frac{p}{24} x^4 + Cx + K$$

Condiciones de contorno:

$$y(0) = 0$$

$$y(l) = 0$$



Condiciones de contorno:

$$y(0) = 0$$

$$EI_z y = \frac{pl}{12} x^3 - \frac{p}{24} x^4 + Cx + K$$

$$y(l) = 0$$

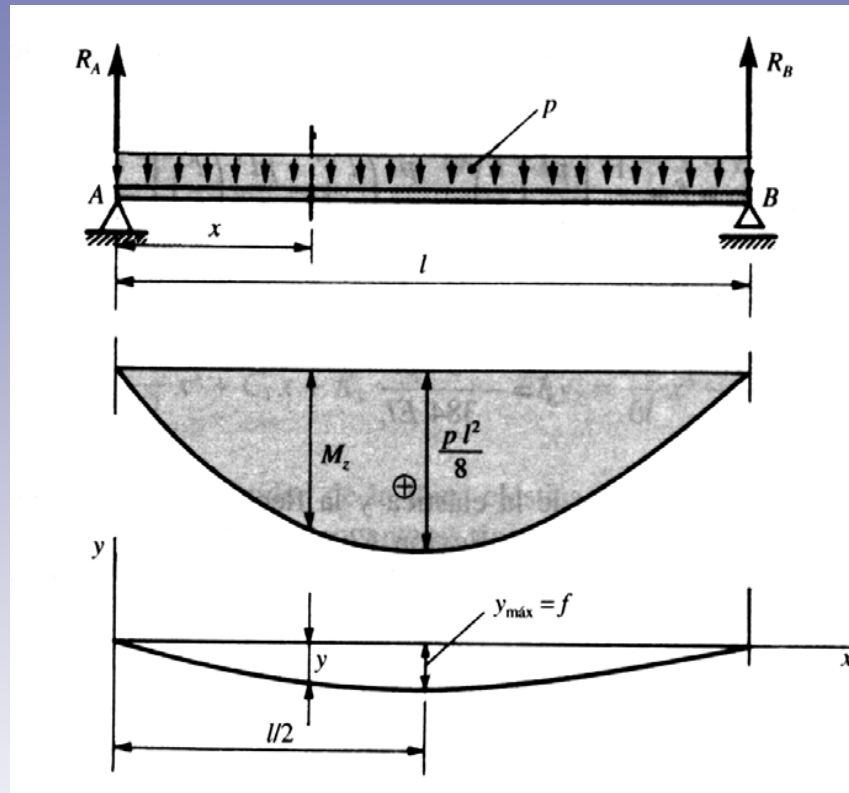
$$y(0) = 0 \Rightarrow K = 0$$

$$y(l) = 0 \Rightarrow \frac{pl^4}{12} - \frac{pl^4}{24} + Cl = 0 \Rightarrow C = -\frac{pl^3}{24}$$

ECUACIÓN DE LA ELÁSTICA:

$$y = \frac{1}{EI_z} \left(\frac{pl}{12} x^3 - \frac{p}{24} x^4 - \frac{pl^3}{24} x \right)$$

Representación gráfica:



$$y = \frac{1}{EI_z} \left(\frac{pl}{12} x^3 - \frac{p}{24} x^4 - \frac{pl^3}{24} x \right)$$